

寄生不灵敏的开关电容三相振荡器*

杨永明 唐治德 周宝薇
(重庆大学, 重庆)

摘要 本文提出并讨论了两种使用开关电容技术设计振荡器的新方法。设计出的振荡器产生三相对称正弦信号，在通信、信号处理等领域有广泛应用。本文使用了两类 RC 振荡器作为模拟振荡器原型：一类是 SD 振荡器，另一类是三状态变量振荡器。由此实现的 SC 振荡器均易于集成，其振荡频率与时钟频率的关系是线性的，并具有电路特性对寄生电容不灵敏，电容比较小的显著特点。文中给出了比较结果和实验结果。实验结果与理论值相符。

关键词 振荡器, 开关电容振荡器, 三相振荡器

一、引言

近几年来，开关电容（SC）电路以其精度高、稳定性好、功耗低、易单片集成等独特优点引起人们的注意。采用 SC 技术设计振荡器已成为热门研究课题。文献[1—7]给出了基于不同模拟原型和设计方法的多种 SC 振荡器（SCO），但它们多属单相和两相输出。在许多情况下，需要用到幅值相等、相位对称的多相正弦波振荡器，而现在通用的 RC 振荡器存在难以单片集成、损耗大等缺点，使之不能满足现代技术对电子电路小型化、集成化的要求。因此设计性能优良、易单片集成的多相 SCO 就成了电路研究者们的一个目标。目前，实现三相 SCO 的方法还限于文献[3]提出的方法。这种方法，由于采用了浮点电容和双线性变换，还存在一些问题，比如存在着电路的特性对寄生电容灵敏，电路的电容比较大等问题。这些缺陷使设计出的 SCO 电路并不实用。针对这一实际问题，本文提出了两种实现三相 SCO 的新方法。文中首先给出了第一种模拟原型——SD (sequence discriminator) 振荡器和几种寄生不灵敏的 SC 支路，并绘制出由几种 SC 支路构成的信号流图，给出了第一种方法实现的 SCO 电路。然后给出了第二种模拟振荡器原型和相应的转移函数框图。最后给出了用寄生电容不灵敏的 SC 积分器实现的 SC 三状态变量振荡器。

二、以 SD 振荡器为原型的三相 SCO

1. 三相 SD 振荡器

n 相 SD 振荡器能产生 n 相幅值相等、相位对称的正弦信号^[2]。由 SD 网络和反馈电路构成的有源 SD 三相振荡器如图 1(a) 所示。图 1(b) 为图 1(a) 电路各节点电压的相

* 1987 年 1 月 7 日收到，1988 年 5 月 16 日修改定稿。

位图。

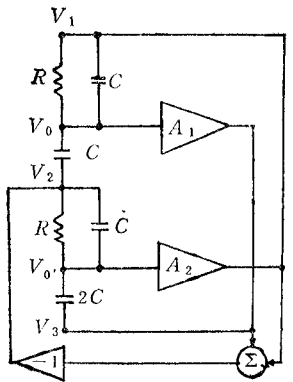
图 1(a) 电路的特征方程为

$$D(s) = (sRC)^2(3A^2 + 9A + 9) + sRC(6A + 6) + (A^2 + A + 1) \quad (1)$$

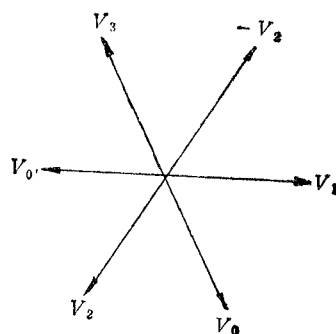
式中 A 是反馈电路中放大器的增益。

当 $A = -1$ 时, 图 1(a) 电路满足振荡条件, 从(1)式很容易求得电路的振荡频率为

$$f_0' = \frac{1}{2\sqrt{3}\pi RC} \quad (2)$$



(a)



(b)

(a) SD 三相振荡器,

(b) 节点电压相位图

图 1

由图 1(b) 可知, 信号 V_1 , V_2 , V_3 和 V_0 , V_0' , $-V_2$ 形成两组三相正弦信号。选 V_1 , V_2 , V_3 为输出变量, 可写出三个变量之间在 s 域的关系式为

$$\left. \begin{aligned} V_1(s) &= -\frac{\left(\frac{1}{R} + sC\right)V_2(s) + 2sCV_3(s)}{3sC + \frac{1}{R}} \\ V_2(s) &= -(V_1(s) + V_3(s)) \\ V_3(s) &= -\frac{\left(\frac{1}{R} + sC\right)V_1(s) + 2sCV_2(s)}{3sC + \frac{1}{R}} \end{aligned} \right\} \quad (3)$$

2. 寄生不灵敏的 SC 支路

在 SC 电路设计中, 为了使设计出的 SC 电路易单片集成, 一般要求设计出的电路的特性对寄生电容不灵敏, 电容比和总电容量尽可能小。因此寻找对寄生电容不灵敏的 SC 电路一直是 SC 电路设计者的一个目标。图 2 给出了四种寄生不灵敏的 SC 支路, 图中虚线所标电容 C_{p1} 和 C_{p2} 为集成时工作电容 C 的两极板到地的寄生电容。

图 2(a) 和 (b) 电路中的寄生电容 C_{p1} , 当运放有足够的开环增益时, 被“虚地”所短

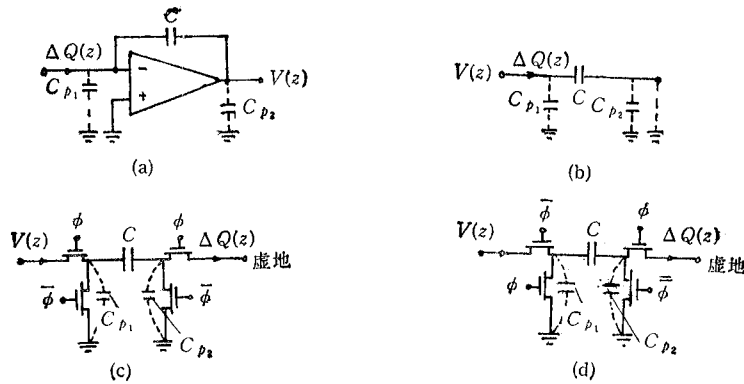


图 2 寄生不灵敏的 SC 支路.

接,而 C_{p_2} 相当于电压源的负载一部份,所以均不影响电路的运算精度. 图 2(c) 和(d) 电路的工作电容 C 两端依次接地,使 C_{p_1} 和 C_{p_2} 所得电荷全部泄放入地,不影响运算精度. 因此图 2 四种 SC 支路均对寄生电容不灵敏.

图 2(a)SC 支路的电压、电荷转移函数为

$$\frac{V(z)}{\Delta Q(z)} = -\frac{1}{C(1-z^{-1})} \quad (4)$$

其中 $V(z)$ 是运放输出电压 $V(t_n)$ 的 z 变换, $\Delta Q(z)$ 是输入电荷序列 $\Delta q(t_n)$ 的 z 变换.

图 2 的其余支路的电荷、电压转移函数依次为

$$\left. \begin{aligned} \frac{\Delta Q(z)}{V(z)} &= C(1-z^{-1}) \\ \frac{\Delta Q(z)}{V(z)} &= C \\ \frac{\Delta Q(z)}{V(z)} &= -Cz^{-1} \end{aligned} \right\} \quad (5)$$

下面将证明上述四种 SC 支路可以用来实现寄生不灵敏的三相 SC 振荡器.

3. 三相 SCO 的实现

SC 电路的设计实际上包含三个方面的问题: (1)根据给定技术指标求出相应的转移函数 $H(s)$ (设计出相应的模拟电路原型); (2)选用适当的映射方法将 $H(s)$ 变换为 $H(z)$; (3)采用 SC 技术实现 $H(z)$, 并对所存在的各种误差效应进行考虑.

前面已给出了模拟振荡器原型及相应的转移函数 $H(s)$. 现在将选用一种适当的映射方法得到 $H(z)$. 在设计 SC 电路时, 最适于采用双线性变换和无损离散积分器 (LDI) 变换^[8-11]. 对于三相 SD 振荡器只能采用双线性变换^[1].

将 (3) 式进行双线性 z 变换, $s = \frac{2}{T_c} \frac{z-1}{z+1}$, 可得 (3) 式的 z 变换表达式

$$\left. \begin{aligned} V_1(z) &= -\frac{[1+z^{-1}+2a(1-z^{-1})]V_2(z)+4a(1-z^{-1})V_3(z)}{6a(1-z^{-1})+(1+z^{-1})} \\ V_2(z) &= -(V_1(z)+V_3(z)) \\ V_3(z) &= -\frac{[1+z^{-1}+2a(1-z^{-1})]V_1(z)+4a(1-z^{-1})V_2(z)}{6a(1-z^{-1})+(1+z^{-1})} \end{aligned} \right\} \quad (6)$$

式中,

$$a = \frac{RC}{T_c} \quad (7)$$

经整理,方程(6)很易写成如下形式

$$\left. \begin{aligned} V_1(z) &= -\frac{\Delta Q_1(z)}{(6a-1)C(1-z^{-1})} \\ V_2(z) &= -\frac{\Delta Q_2(z)}{2C(1-z^{-1})} \\ V_3(z) &= -\frac{\Delta Q_3(z)}{(6a-1)C(1-z^{-1})} \end{aligned} \right\} \quad (8)$$

式中, C 是基本电容,而

$$\left. \begin{aligned} \Delta Q_1(z) &= (2a+1)CV_2(z) - (2a-1)Cz^{-1}V_2(z) \\ &\quad + 4aC(1-z^{-1})V_3(z) + 2CV_1(z) \\ \Delta Q_2(z) &= 2C(1-z^{-1})V_1(z) + 2C(1-z^{-1})V_3(z) \\ \Delta Q_3(z) &= (2a+1)CV_1(z) - (2a-1)Cz^{-1}V_1(z) \\ &\quad + 4aC(1-z^{-1})V_2(z) + 2CV_3(z) \end{aligned} \right\} \quad (9)$$

由(8),(9)式可画出仅由图 2 四种 SC 支路构成的 z 域信号流图,如图 3 所示。

在图 3 信号流图中,每一个电压、电荷转移函数 $V(z)/\Delta Q(z)$ 都可以由图 2(a) 的 SC 支路代替,每一个电荷、电压转移函数 $\Delta Q(z)/V(z)$ 都可以由图 2(b), (c), (d) 的 SC 支路代换。图 4 给出了实现后的三相 SCO 电路。电路中各电容值为

$$\left. \begin{aligned} C_1 &= C_{A_2} = 2C \\ C_2 &= (2a-1)C \\ C_3 &= (2a+1)C \\ C_4 &= 4aC \\ C_{A_1} &= C_{A_3} = (6a-1)C \end{aligned} \right\} \quad (10)$$

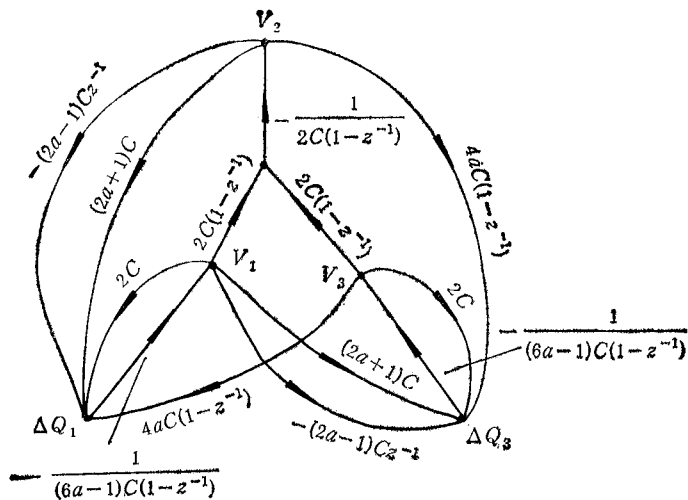
从(10)式可知,仅当 $2a \geq 1$ 时,图 4 电路中所有电容非负,电路才是可实现的。在 $2a < 1$ 的取值情况下,其实现方法在此不详述,参看文献[12]。

双线性变换连续域角频率 Ω 与离散域角频率 ω 之间的关系为^[11]

$$\Omega = \frac{2}{T_c} \tan \frac{\omega T_c}{2} \quad (11)$$

由(2),(7)和(11)式很容易求出图 4 电路的振荡频率

$$\begin{aligned} f_0 &= \frac{f_c}{\pi} \tan^{-1} \left(\frac{1}{\sqrt{3} \cdot 2a} \right) = \frac{f_c}{\pi} \tan^{-1} \left(\frac{C_{A_2}}{\sqrt{3} C_4} \right) \\ &= \frac{f_c}{K}, \quad C_4/C_{A_2} \geq 1 \end{aligned} \quad (12)$$

图3 z 域信号流图

其中 f_c 是采样频率，等于图4电路的时钟频率， K 是每振荡周期的采样数。

从(12)式可知，固定电容比 (C_A/C)， f_0 与 f_c 成正比，比例系数 K 仅与电容比有关。

上述方法实现的三相 SC 振荡器的主要优点是电路的特性对寄生电容不灵敏，而主要缺点是电路的结构较复杂，总电容量大。第二种方法将克服上述缺点。

三、以状态变量振荡器为原型的三相 SCO

1. 三状态变量振荡器

前述的实现方法，由于采用 SD 振荡器为原型，只能使用双线性变换，因此存在一些缺点。为了克服双线性变换方法所固有的电路结构复杂、总电容量大的缺点^[8-13]，首先需要寻找能用 LDI 变换精确实现的模拟振荡器原型。

连续三相正弦波振荡器可由模拟求解下述系统方程得到：

$$\left. \begin{aligned} \dot{u}_1 &= \frac{\Omega_0}{\sqrt{3}} (u_2 - u_3) \\ \dot{u}_2 &= \frac{\Omega_0}{\sqrt{3}} (u_3 - u_1) \end{aligned} \right\} \quad (13)$$

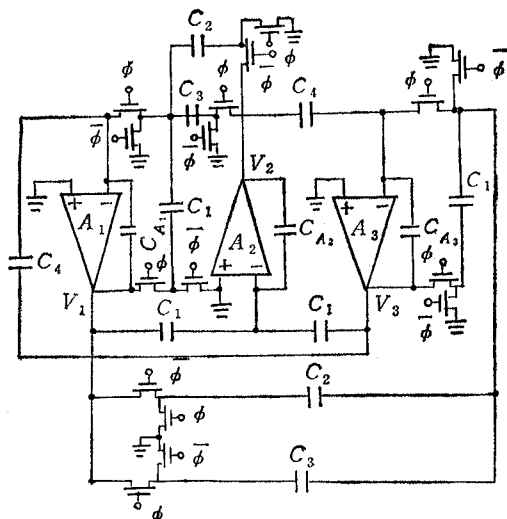


图4 三相 SCO 电路

$$\dot{u}_3 = \frac{\Omega_0}{\sqrt{3}} (u_1 - u_2)$$

式中, u_1, u_2, u_3 为状态变量, 作为振荡器的三个对称输出信号, Ω_0 为振荡频率。根据(13)式实现的模拟振荡器, 我们称为三状态变量振荡器。

将(13)式进行 s 变换, 并假定初始值为零可得

$$\left. \begin{aligned} V_1(s) &= \frac{\Omega_0}{\sqrt{3}s} (V_2(s) - V_3(s)) \\ V_2(s) &= \frac{\Omega_0}{\sqrt{3}s} (V_3(s) - V_1(s)) \\ V_3(s) &= \frac{\Omega_0}{\sqrt{3}s} (V_1(s) - V_2(s)) \end{aligned} \right\} \quad (14)$$

相应的信号流图如图 5 所示。

从图 5 可知, 三状态变量振荡器由三个积分回路构成, 以它作为模拟原型, 可以采用 LDI 变换方法精确实现 SCO。

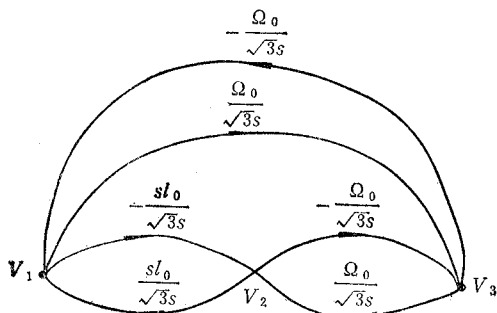


图 5 s 域信号流图

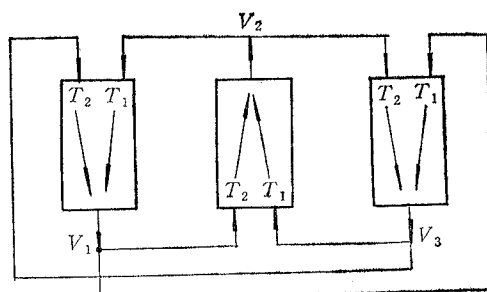


图 6 转移函数框图

2. 转移函数框图

如将图 5 信号流图中的每一积分回路用 SC 电路设计中常用的 LDI 双积分器代替, 可以实现 SC 振荡器, 但这样实现所需的 SC 积分器较多。

考察(14)式, 我们可以画出图 6 所示的转移函数框图。图 6 框图中, 每一方框的转移函数形式均为:

$$T_1(s) = -T_2(s) = \frac{\Omega_0}{\sqrt{3}s}$$

将 $T_1(s), T_2(s)$ 施以 LDI 变换, 得 z 域转移函数为

$$T_1(z) = -T_2(z) = T_1(s)|_{s=\frac{1}{T_c}(z^{\frac{1}{2}}-z^{-\frac{1}{2}})} = \frac{\Omega_0 T_c z^{-\frac{1}{2}}}{\sqrt{3}(1-z^{-1})} \quad (15)$$

满足 LDI 变换关系的 z 域转移函数框图仍为图 6 的形式。

3. 转移函数框图的 SC 实现

对于图 6 所示的 z 域转移函数框图的每一个方框可用图 7 所示寄生不灵敏的 SC 积

分器来实现。

图 7 所示电路的输出、输入关系为

$$V_o(z) = T'_1(z)V_{i_1}(z) + T'_2(z)V_{i_2}(z) \quad (16)$$

式中

$$\left. \begin{aligned} T'_1(z) &= \frac{C_1}{C} \frac{z^{-1}}{1 - z^{-1}} \\ T'_2(z) &= -\frac{C_1}{C} \frac{1}{1 - z^{-1}} \end{aligned} \right\} \quad (17)$$

(17)式的转移函数与(15)式的形式不同,如果在设计电路时,使之构成双积分回路的形式,(17)式的等效形式就成为(15)式的形式。将图 7 电路代换图 6 的每一方框,并令

$$C_1/C = Q_0 T_c / \sqrt{3} \quad (18)$$

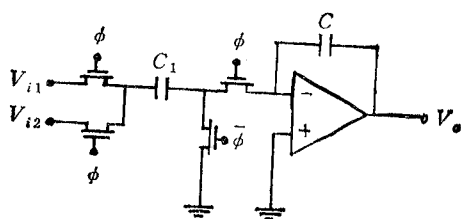


图 7 寄生不灵敏的 SC 积分器

可得实现的 SC 三状态变量振荡器,如图 8 所示。

LDI 变换的连续域角频率 Ω 与离散域角频率 ω 的关系式为^[11]

$$\Omega = \frac{2}{T_c} \sin \frac{\omega T_c}{2} \quad (19)$$

由(18)和(19)式,很易求出图 8 电路的振荡频率为

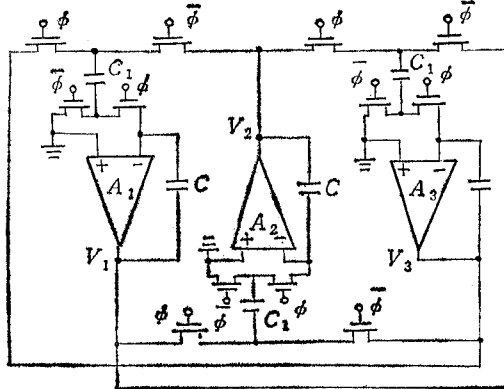


图 8 SC 三状态变量振荡器

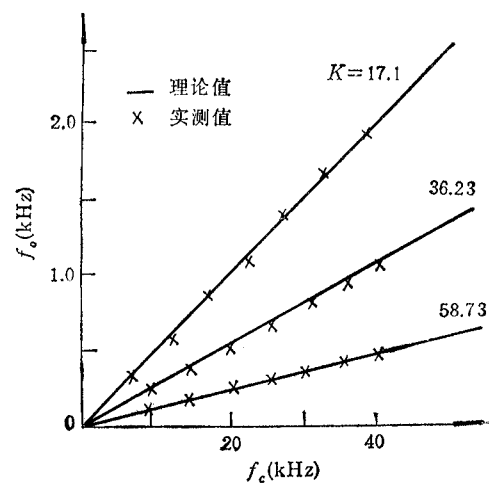


图 9 f_o 与 f_c 的关系

$$f_0 = \frac{f_c}{\pi} \sin^{-1} \frac{\sqrt{3} C_1}{2C} = \frac{f_c}{\pi} \sin^{-1} \frac{\sqrt{3}}{2\alpha}$$

$$= f_c/K, \quad 2C > \sqrt{3} C_1 \quad (20)$$

其中 $\alpha = C/C_1$, f_c 是采样频率, 等于图 8 电路的时钟频率, K 是振荡周期采样数.

四、结构比较和实验结果

1. 结构比较

表 1 列出了本文两种 SCO 电路与文献[3] SCO 电路的结构性能参数的比较结果.

表 1

($K = 100$)

SCO	对寄生电容	$\max\alpha_i$	C_T	运放	电容数	电容种类	开关	K 值范围
文献[3] 图 4 图 8	灵敏	36.74	119.2	3	13	3	8	$K > 2$
	不灵敏	27.1	132.7	3	13	5	16	$K \geq 6$
	不灵敏	27.5	85.7	3	6	2	12	$K > 2$

表 1 中, $\max\alpha_i$ 为 SCO 电路中的最大电容比, C_T 为电路的总电容量.

从表 1 可看出, 三种 SCO 电路以后两种寄生不灵敏的电路实用, 而后两种电路, 又以结构简单、元件数较少的 SC 三状态变量振荡器为佳.

2. 实验结果

我们用分立元件对本文提出的两种新的 SCO 电路进行了实验.

对于图 4 电路, 选定 $C_4/C_{A_2} = 3.1$, 设计值 $K = 17.1$, 其它电容值为: $C_1 = C_{A_2} = 200\text{pF}$, $C_2 = 210\text{pF}$, $C_3 = 410\text{pF}$, $C_4 = 620\text{pF}$, $C_{A_1} = C_{A_3} = 830\text{pF}$; 电子开关采用 CMOS TC4006B 传输门; 运算放大器采用 5G353 双运放.

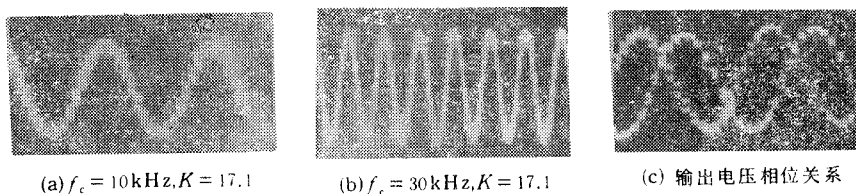


图 10 基于 SD 振荡器的 SCO 输出波形

电路的振荡频率 f_0 与时钟频率 f_c 的关系见图 9. 电路的输出波形见图 10.

对于图 8 电路, 选择了两种电容比 α 进行了实验.

(1) $\alpha = C/C_1 = 16.2$, 设计值 $K = 58.73$, 选电容 $C_1 = 100\text{pF}$, $C = 1620\text{pF}$; 电子开关采用 CMOS 传输门 C544B; 运算放大器选用 5G353.

(2) $\alpha = C/C_1 = 10$, 设计值 $K = 36.23$, 选定 $C_1 = 100\text{pF}$, $C = 1000\text{pF}$, 其它

元件不变。

电路在不同电容比下的振荡频率 f_o 与时钟频率 f_c 的关系见图 9。输出波形见图 11。

从图 9 可知，两种新的振荡器的实际振荡频率 f_o 与时钟频率 f_c 的关系几乎是线性的。从图 10 和图 11 可知，两种新的振荡器产生稳定的采样-保持正弦信号，输出信号间的相位为 $2\pi/3$ 。从图 11 还可知，调整 K 值，可以改变输出信号的频谱纯度， K 值越大，输出越接近连续正弦信号。

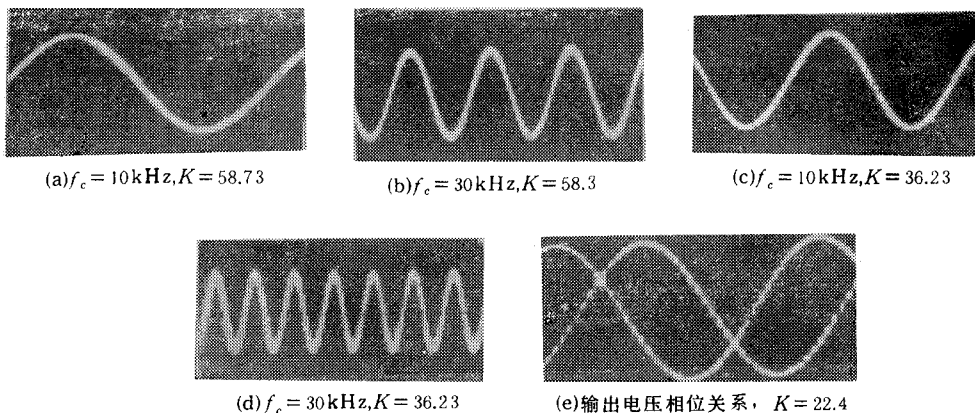


图 11 SC 三状态变量振荡器输出波形

五、结 论

通过理论推导和实验验证证明了本文提出的两种新的 SC 三相振荡器的实现方法是正确的，有效的。两种方法实现的 SCO 电路结构稳定、性能良好、输出为三相对称采样-保持正弦信号，信号的频率与时钟频率成正比，比例系数 K 仅与电容比有关，不仅调整方便，而且随 K 的增加，可以提高输出波形的频谱纯度，对任何 K 值没有量化误差。本文提出的两种 SCO 电路均克服了文献[3]电路对寄生电容灵敏的缺点、向实用化方向迈进了一大步，而且 SC 三状态变量振荡器还具有结构简单、总电容量小的显著优点。本文第一种实现方法还可用于 n 相 SC 振荡器的实现。

由于两种新的 SC 振荡器的优良性能，可望在测量、控制、通信和信号处理等领域得到应用。如果对两种 SCO 电路进行改进，便可以实现精确的幅值和频率控制振荡器、电容控制振荡器以及可编程振荡器等。

参 考 文 献

- [1] R. Gregorian, K. R. Matin, G. C. Temes, *Proc. IEEE*, 71(1983), 941.
- [2] W. B. Mikhael, S. Tu, *IEBE Int. Symp. CAS*, Chicago, (1981), 188.
- [3] W. B. Mikhael, S. Tu, *IEEE Trans. on CAS*, CAS-31(1984), 280.
- [4] E. Vittoz, *IEEE J. of SC*, SC-14(1979),
- [5] R. P. Colbeck, *IEEE J. of SC*, SC-19(1984), 996.

- [6] J. L. Huertas, A. Rodriguez-Vazquez, *IEEE Trans. on CAS*, **CAS-31**(1984), 310.
- [7] P. E. Fleischer, A. Ganesun, K. R. Laker, *IEEE J. of SC*, **SC-20**(1985), 641.
- [8] L. T. Bruton, *IEEE Trans. on CAS*, **CAS-22**(1975), 168.
- [9] G. M. Jacobs, D. J. Allstok, R. W. Brodersen, P. R. Gray, *IEEE Trans. on CAS*, **CAS-25**(1978), 1014.
- [10] P. E. Fleischer, K. R. Laker, *Bell Sys. Tech. J.*, 58(1979), 2235.
- [11] M. S. Lee, C. Chang, *IEEE Trans. on CAS*, **CAS-28**(1981), 265.
- [12] 杨永明, 寄生不灵敏的开关电容三相正弦波振荡器, 重庆大学硕士学位论文, 1986 年.
- [13] B. J. Hosticka, W. Brockherde, U. Kleine, R. Schweet, *IEEE Trans. on CAS*, **CAS-31**(1984), 354.

PARASITIC INSENSITIVE SWITCHED-CAPACITOR THREE-PHASE OSCILLATORS

Yang Yongmin Tang Zhide Zhou Baowei

(Chongqing University, Chongqing)

ABSTRACT A novel design of three-phase oscillator using switched-capacitor (SC) techniques is developed. Two classes of active RC prototypes are used to realize the switched-capacitor oscillators (SCO): one is the SD oscillator while the other is the three state variable oscillator. These SCOs have the following advantages: easily to be constructed in IC form, their oscillation frequency/clock frequency relationship being linear, and having the features of stray capacitance insensitivity and smaller capacitance ratio. The experimental results are in agreement with the theoretical ones.

KEY WORDS Oscillator; Switched-capacitor oscillator; Three-phase oscillator